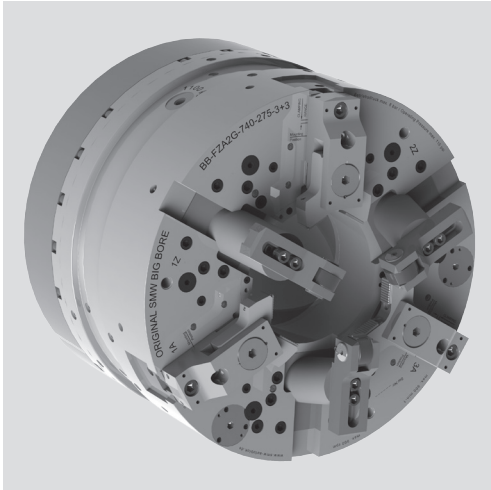


# BIG BORE® BB-FZA2G

## Mandrin pneumatique 6 mors avec séquence de serrage GRAND PASSAGE EN BARRE Ø 275 - 390 mm

- Taille mandrin Ø 740 - 920
- 3 mors autocentrants et 3 mors flottants intégrés



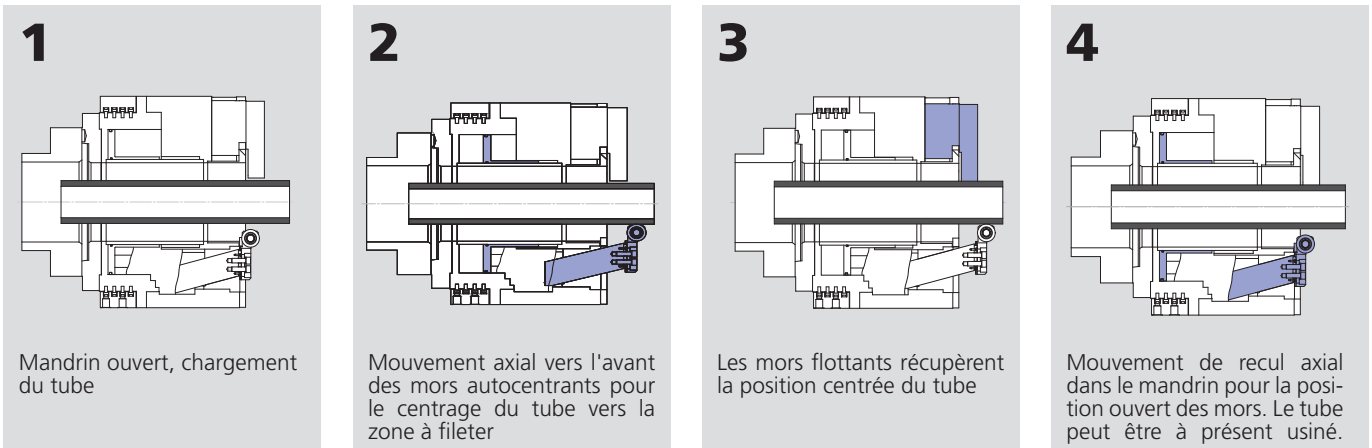
### Application

- Course axiale et radiale extra longue pour les mors autocentrants
- Course d'approche et de serrage extra longue (1 1/2" total) pour les mors flottants
- Contrôle de course pour les mors autocentrants
- Contrôle de course pour chaque mors flottant
- Contrôle de pression

### Caractéristiques techniques

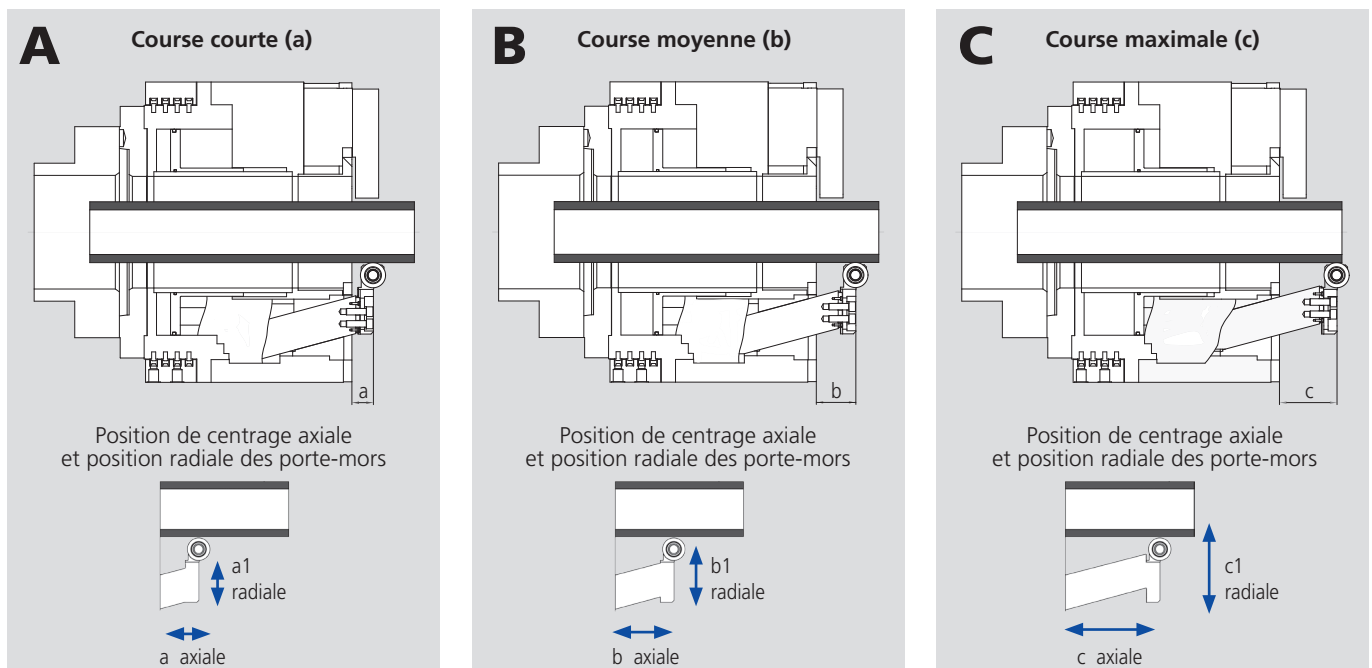
- Mandrin pneumatique 3+3 avec 3 mors autocentrants et 3 mors flottants intégrés
- Les mors intégrés autocentrants avance axialement vers le centre du tube exactement vers la zone à fileter
- Pour serrage externe uniquement
- La séquence de serrage automatique est programmable
- Course de mors extra longue
- Il est possible d'ajuster la position de centrage axiale à travers la position radiale des mors de centrage

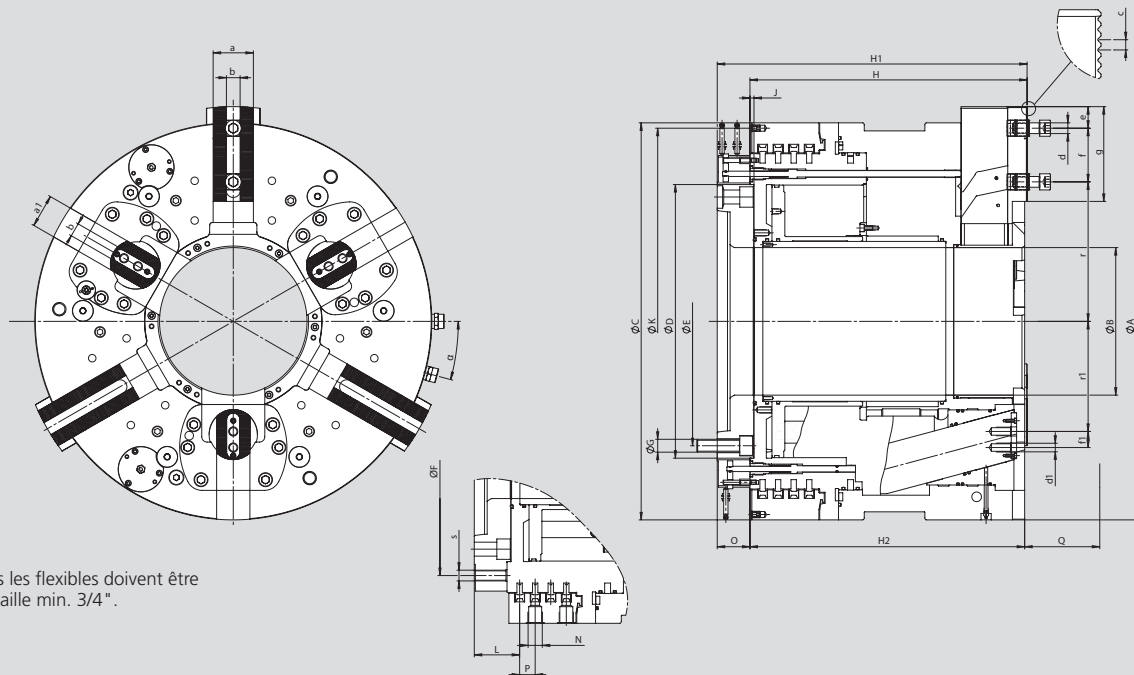
### Usinage de tubes coudés avec mandrin avec mors autocentrants intégrés:



### Ajustement de la position axiale de centrage:

En changeant la position radiale des porte-mors, la position axiale de centrage peut être modifiée. La position axiale de centrage est dépendante de l'ajustement radial du porte-mors.





Tous les flexibles doivent être de taille min. 3/4".

Sujet à changements techniques  
Pour plus d'information détaillée, merci de demander le plan technique.

SMW-AUTOBLOK Type			BB-FZA2G-740-275-A20	BB-FZA2G-800-330-A20	BB-FZA2G-920-390-A20
Id. No.			054159	054300	054228
Diamètre mandrin	<b>A</b>	mm	740	800	920
Passage en barre	<b>B</b>	mm	275	330	390
	<b>C</b>	mm	740	800	920
	<b>D</b>	mm	510	510	550
	<b>E</b>	mm	463.6	463.6	463,5
	<b>F</b>	mm	562	615	724
	<b>G</b>	mm	M24	M24	M24
	<b>H</b>	mm	516.5	516.5	546.5
Hauteur mandrin	<b>H1</b>	mm	577.5	577.5	607.5
	<b>H2</b>	mm	512	512	542
	<b>J</b>	mm	7.5	7.5	7.5
	<b>K</b>	mm	720/6xM8	780/6xM8	890/6xM8
	<b>L</b>	mm	84.5	84.5	86.5
Connection pour les flexibles pneu.	<b>N</b>	pouce	G 3/4"	G3/4"	G 3/4"
	<b>O</b>	mm	61	61	61
	<b>P</b>	mm	3x29	3x29	3x31
Course axiale des mors autocentrants	<b>Q</b>	mm	140	140	160
	<b>a</b>	mm	75	75	75
	<b>a1</b>	mm	62	62	62
	<b>b</b>	mm	25.5 H7	25.5 H7	25.5 H7
	<b>c</b>	pouce	3/32" x 90°	3/32" x 90°	3/32" x 90°
Vis de montage des mors	<b>d</b>	mm	M20	M20	M20
Vis de montage des mors	<b>d1</b>	mm	M16	M16	M16
	<b>e</b>	min.	30	30	30
	<b>f</b>	max.	100	100	135
	<b>f1</b>	mm	30	30	30
	<b>g</b>	mm	176.6	176.6	190
	<b>h</b>	mm	19	19	19
	<b>r</b>	min.	260	287.5	321
	<b>r1</b>	min.	205.2	232.7	270.3
	<b>s</b>	mm	M20	M20	M24
	<b>α°</b>	deg.	15	15	15
Vitesse max.		tr/min	900	750	600
Force serrage des mors flottants à 6 bar		kN	90	90	150
Force serrage des mors autocentrants à 6 bar		kN	100	114	102
Course totale des mors flottants		mm	38.1	38.1	38.1
Course rapide d'approche		mm	29.6	29.6	29.6
Course de serrage		mm	8.5	8.5	8.5
Course des mors autocentrants		mm	37.5	37.5	42.7
Consommation d'air serrage autocentrant		liter max.	92	92	142
Consommation d'air serrage flottant		liter max.	28	28	50
Masse (sans les mors)		kg	1140	1350	1850
Pression d'utilisation min./max.		bar	2/8	2/8	2/8
Moment d'inertie		kg·m²	88	121	230